

***Investigation of Collatz's conjecture***

***Indagine sulla congettura di Collatz***

***Abstract***

***In the article, a study is developed on the Collatz conjecture that is to determine for each initial odd natural number the relationship existing between the even and odd steps of the corresponding orbit, to demonstrate the narrowness of the succession and the absence in it of cycles preceding that 4, 2, 1.***

***Nell'articolo viene sviluppato uno studio sulla congettura di Collatz in grado di determinare per ogni numero naturale iniziale dispari la relazione esistente tra i passi pari e quelli dispari della relativa orbita, di dimostrare la limitatezza della successione e l'assenza in essa di cicli precedenti a quello 4, 2, 1.***

## **1 Introduzione**

La congettura di Collatz (conosciuta anche come congettura  $3n + 1$ ) è una congettura matematica tuttora irrisolta. Fu enunciata per la prima volta nel 1937 da Lothar Collatz, da cui prende il nome.

La congettura si può esprimere con il seguente algoritmo:

1. Si prenda un intero positivo  $n$ .
2. Se  $n = 1$ , l'algoritmo termina.
3. Se  $n$  è pari, si divide per due; altrimenti si moltiplica per 3 e si aggiunge 1.

e cioè algebricamente:

$$f(n) = \begin{cases} \frac{n}{2} & \text{se } n \text{ è pari} \\ 3n + 1 & \text{se } n \text{ è dispari} \end{cases}$$

Applicando ripetutamente questa funzione è possibile formare una successione  $\{a_n\}_{n \in N}$ , chiamata anche orbita o traiettoria, che presenta come primo elemento un qualunque intero positivo  $n$  e come elementi successivi quelli che si ottengono applicando la funzione all'elemento precedente, cioè:

$$a_i = \begin{cases} n & \text{per } i = 0 \\ f(a_{i-1}) & \text{per } i > 0 \end{cases}$$

Per esempio, iniziando con  $n = 18$ , otteniamo la successione 18, 9, 28, 14, 7, 22, 11, 34, 17, 52, 26, 13, 40, 20, 10, 5, 16, 8, 4, 2, 1

La congettura di Collatz asserisce che questa successione giunge sempre ad un elemento uguale ad 1 indipendentemente dal valore di partenza. Più formalmente:

$$\forall n \in N > 0 \exists i \in N: (a_0 = n \Rightarrow a_i = 1)$$

## **2 Lo stato della ricerca in pillole**

La congettura è stata verificata mediante computer per tutti i valori fino a circa  $10^{20}$  il che ovviamente non significa che essa sia stata dimostrata.

In base a considerazioni probabilistiche, se si considerano solo i numeri dispari della successione  $\{a_n\}_{n \in N}$ , si può affermare che in media il successivo numero dispari dovrebbe essere pari a circa i 3/4 del precedente, fatto che suggerisce che essi decrescano gradualmente fino a raggiungere 1.

Nel 1976 il matematico Riho Terras dimostrò che, *per quasi tutti i numeri*, dopo l'applicazione di un numero opportuno di passi la sequenza raggiunge un valore minore di quello di partenza.

Infine recentemente il matematico Terence Tao ha dimostrato che sempre per *quasi tutti i numeri* la sequenza raggiunge, prima o poi, un valore molto più basso di quello N iniziale, come per esempio N/2 o il logaritmo di N o una qualunque funzione  $f(N)$  che tenda all'infinito con N. Ovviamente questa dimostrazione aumenta la convinzione che la congettura sia vera.

### 3 L'insieme dei termini della successione

Analizziamo ora i vari termini della successione  $\{a_n\}_{n \in N}$  ed ipotizziamo che la stessa scaturisca da un numero dispari qualsiasi  $d_0$  (infatti se il numero iniziale è pari ed è diverso da una potenza di 2, applicando la funzione  $f(n)$  per gli n pari, si perviene sempre ad un numero dispari  $d_0$  diverso da 1, mentre se il numero iniziale è uguale ad una potenza di 2 applicando la  $f(n)$  si perviene direttamente ad 1). Ponendo allora  $a_0 = d_0$  e sapendo che i termini della successione sono del tipo  $3d+1$  (con d numero dispari) o del tipo  $(3d+1)/2^h$  o infine del tipo d (intero dispari), possiamo affermare che tutti i termini della successione appartengono alla griglia seguente:

$3*1+1$	$3*3+1$	$3*5+1$	$3*7+1$	$3*9+1$	$3*11+1$	$3*(..)+1$
$(3*1+1)/2$	$(3*3+1)/2$	$(3*5+1)/2$	$(3*7+1)/2$	$(3*9+1)/2$	$(3*11+1)/2$	$(3*(..)+1)/2$
$(3*1+1)/2^h=p$	$(3*3+1)/2^h=p$	$(3*5+1)/2^h=p$	$(3*7+1)/2^h=p$	$(3*9+1)/2^h=p$	$(3*11+1)/2^k=p$	$(3*(..)+1)/2^h=p$
.....	.....	.....	.....	.....	.....	.....
$(3*1+1)/2^k=d$	$(3*3+1)/2^k=d$	$(3*5+1)/2^k=d$	$(3*7+1)/2^k=d$	$(3*9+1)/2^k=d$	$(3*11+1)/2^k=d$	$(3*(..)+1)/2^k=d$

in cui la prima riga contiene gli infiniti termini **pari**  $3d+1$ , la seconda riga gli infiniti termini  $(3d+1)/2$ , le righe intermedie gli **eventuali** infiniti termini **pari**  $(3d+1)/2^h$  e la riga finale gli infiniti termini **dispari**  $(3d+1)/2^k$  con  $2^k$  la massima potenza di due che divide  $(3d+1)$ . Logicamente laddove 4 non divide  $(3d+1)$  mancheranno nella colonna corrispondente i termini intermedi e quello finale, uguale al secondo termine, sarà proprio  $(3d+1)/2$ .

**Osservazione 3.1** Osserviamo subito che per un qualsiasi  $d_i$  se  $3d_i+1$  è divisibile soltanto per due dando come risultato un numero dispari  $d_j$  il termine successivo della successione  $3d_j+1$  si sposta in una colonna della griglia successiva a quella di  $3d_i+1$  (per es.  $3*7+1$ ); invece se  $3d_i+1$  è divisibile per  $2^k$  con  $k > 1$  allora  $3d_j+1$  si sposta in una colonna della griglia precedente a quella di  $3d_i+1$  (per es.  $3*9+1$ ). Ovviamente se il primo caso (divisibilità di  $3d_i+1$  per  $2^k$  solo per  $k=1$ ) si ripete con i  $3d_j+1$  successivi per  $m$  volte ci saranno  $m$  spostamenti in avanti del termine  $3d_i+1$  e viceversa nel senso che se  $3d_i+1$  è divisibile per  $2^k$  con  $k > 1$  il termine risultante  $3d_i+1$  si sposterà nella griglia tanto più indietro quanto più grande è  $k$ .

Questa osservazione ci consente di evidenziare il carattere non monotono della nostra successione e la centralità che, per il nostro studio sulla congettura, ha il termine  $(3d+1)/2^k$  con  $2^k$  la massima potenza di due che divide  $(3d+1)$ .

### 4 Una successione quasi equivalente

Ai fini della nostra dimostrazione possiamo sostituire la nostra successione  $\{a_n\}_{n \in N}$  con la successione  $\{d\}_{n \in N}$  che presenta come primo elemento un qualunque intero positivo dispari  $d_0$  e come elementi successivi i numeri dispari che si ottengono applicando all'elemento precedente  $d$  la funzione  $g(d)$  in cui  $2^k$  è la massima potenza di due che divide  $3d+1$ :

$$(4.1) \quad g(d) = \frac{3d+1}{2^k}$$

e pertanto ogni elemento della successione  $\{d_n\}_{n \in N}$  sarà:

$$(4.2) \quad d_i = \begin{cases} d_0 \text{ per } i = 0 \\ g(d_{i-1}) \text{ per } i > 0 \end{cases}$$

L'orbita della successione  $\{d\}_{n \in N}$ , a parità dell'ingresso  $d_0$ , ripercorre tutti i nodi dispari dell'orbita della successione  $\{a_n\}_{n \in N}$ .

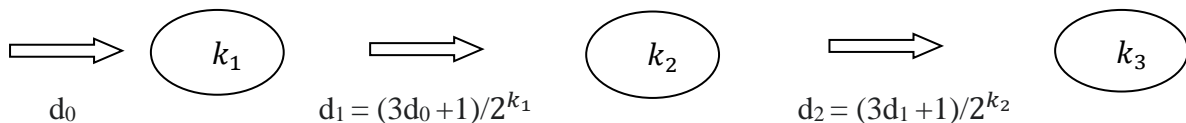
Come sussiste per la successione  $\{a_n\}_{n \in N}$  anche per quella quasi equivalente  $\{d\}_{n \in N}$  la congettura risulterebbe falsa se esistesse un numero  $d_0 \in N$  per il quale le due relative successioni non contenessero il numero 1 e cioè se le successioni fossero illimitate superiormente oppure se esistesse in esse un ciclo che si ripete senza mai dare 1. La veridicità o meno della congettura per la  $\{d\}_{n \in N}$  comporta anche quella della  $\{a\}_{n \in N}$  in quanto se è superiormente limitata la prima lo sarà anche la seconda (e viceversa) e se esiste un numero pari  $[(3*d+1) \text{ o } (3*d+1)/2^h]$  che si ripete nella successione  $\{a\}_{n \in N}$  dando luogo ad un ciclo che si ripete senza mai dare 1 ce ne sarà sicuramente anche uno dispari  $[d \text{ o } (3*d+1)/2^k]$  che si ripeterà in quella  $\{d\}_{n \in N}$ .

Allora per dimostrare che la successione  $\{d\}_{n \in N}$  giunge sempre ad 1 dobbiamo dimostrare che:

- a) la successione è superiormente limitata e quindi non esiste alcun numero dispari  $d$  per cui la successione tende ad infinito
- b) fino al nodo dell'orbita pari ad 1 non ci sono in essa numeri che si ripetono senza mai dare 1 e quindi nessun termine della successione  $\{d_n\}_{n \in N}$  è uguale ad un suo termine precedente.

## 5 Incrementi e decrementi nell'orbita $\{d_n\}_{n \in N}$

Nella successione (orbita) equivalente  $\{d_n\}_{n \in N}$  ogni nodo  $k_i$  presenta in ingresso l'uscita  $d_{i-1}$  del nodo precedente  $k_{i-1}$  ed in uscita il numero  $d_i = (3 * d_{i-1} + 1) / 2^{k_i}$  con  $2^{k_i}$  la massima potenza di 2 che divide  $(3 * d_{i-1} + 1)$ .



Analizzando il comportamento dei numeri pari  $(3d+1) \forall d \in D$ , con  $D$  insieme dei numeri interi positivi dispari, si può osservare che i numeri  $d$  che generano  $(3d+1)$  divisibili per  $2^k$  solo con  $k=1$  sono del tipo:

$$(5.1) \quad d = 3 + 4m \quad \text{con } m = 0, 1, 2, 3, 4, \dots$$

e quindi appartengono all'insieme  $D_1 = \{3, 7, 11, 15, 19, \dots\}$

e quelli che invece generano  $(3d+1)$  divisibili per  $2^k$  con  $k>1$  sono del tipo:

$$(5.2) \quad d = 1 + 4m \quad \text{con } m = 0, 1, 2, 3, 4, \dots$$

e quindi appartengono all'insieme  $D_2 = \{1, 5, 9, 13, 17, 21, \dots\}$

**Osservazione 5.3** La densità in  $D$  dei numeri appartenenti all'insieme  $D_1$  è pari ad  $1/2$  così come la densità dei numeri appartenenti a  $D_2$ . In particolare abbiamo che le densità in  $D_2$  (con  $k \geq 2$ ), dei numeri  $d$  che generano  $(3d+1)$  divisibili per  $2^k$  sono pari a  $1/2^{k-1}$ .

Ora per ogni nodo  $K_i$  dell'orbita tra l'uscita  $d_i$  e l'ingresso  $d_{i-1}$  sussiste la seguente relazione approssimata:

$$(5.4) \quad d_i = (3d_{i-1} + 1)/2^{k_i} \approx 3d_{i-1}/2^{k_i}$$

da cui discende che, se  $K_i = 1$  (vedi anche l'Osservazione 3.1) e quindi  $d_{i-1}$  appartiene a  $D_1$ ,  $d_i > d_{i-1}$  e vale:

$$(5.5) \quad d_i \approx (3/2) * d_{i-1}$$

con un rapporto tra  $d_i$  e  $d_{i-1}$  maggiore di 1 che chiameremo **rapporto di incremento**.

Se invece se  $K_i > 1$  e quindi  $d_{i-1}$  appartiene a  $D_2$ , si ha che  $d_i < d_{i-1}$  e vale:

$$(5.6) \quad d_i \approx (3/2)^{k_i} * d_{i-1}$$

con un rapporto tra  $d_i$  e  $d_{i-1}$  minore di 1 che chiameremo **rapporto di decremento**.

**Osservazione 5.7** E' bene notare che se  $d_{i-1}$  passa per un nodo  $K_i = 1$  il suo valore si incrementa di  $\frac{1}{2}$ , se passa invece per un nodo  $K_i = 2$  il suo valore si decrementa di  $\frac{1}{4}$  (minore quindi dell'incremento con  $K_i = 1$ ), se infine passa per un nodo  $K_i > 2$  il valore di  $d_{i-1}$  si decremente di  $(2^{k_i}-3)/2^{k_i}$  (maggiore quindi dell'incremento con  $K_i = 1$ )

Se quindi per esempio l'orbita relativa ad un ingresso qualsiasi  $d_{in}$  fosse costituita da una sequenza periodica di nodi costituita da:  $K_1=1, K_2=2, K_3=1$  e  $K_4=3$  il  $d_{in}$  di ingresso al nodo  $K_1$  aumenterebbe prima a  $(3/2)*d_{in}$ , per poi diminuire a  $(9/8)*d_{in}$ , per poi riaumentare a  $(27/16)*d_{in}$  ed infine per diminuire a  $(81/128)*d_{in}$ ; alla fine della sequenza il  $d_{out}$  di uscita dal nodo  $K_4$  risulterebbe minore del  $d_{in}$  di ingresso al nodo  $K_1$  e varrebbe circa  $0,63 * d_{in}$ .

Se invece l'orbita fosse costituita da una sequenza periodica di nodi costituita da:  $K_1=1, K_2=1, K_3=2$  e  $K_4=2$  il  $d_{in}$  di ingresso al nodo  $K_1$  aumenterebbe prima a  $(3/2)*d_{in}$ , poi a  $(9/4)*d_{in}$ , per poi diminuire a  $(27/16)*d_{in}$  e quindi a  $(81/64)*d_{in}$ ; alla fine della sequenza il  $d_{out}$  di uscita dal nodo  $K_4$  risulterebbe maggiore del  $d_{in}$  di ingresso al nodo  $K_1$  e varrebbe circa  $1,26 * d_{in}$ .

Ovviamente questi esempi sono solo esemplificativi e nulla ci dicono sull'andamento reale di un'orbita generata da  $d_0$ , sulla sequenza dei nodi  $K_i$  così come sul loro valore (1,2,3,4,etc.); l'andamento dell'orbita infatti deriva solo da  $d_0$  e dalla successione  $\{d_n\}_{n \in N}$  che esso determina applicando iterativamente la funzione  $g(d)$ .

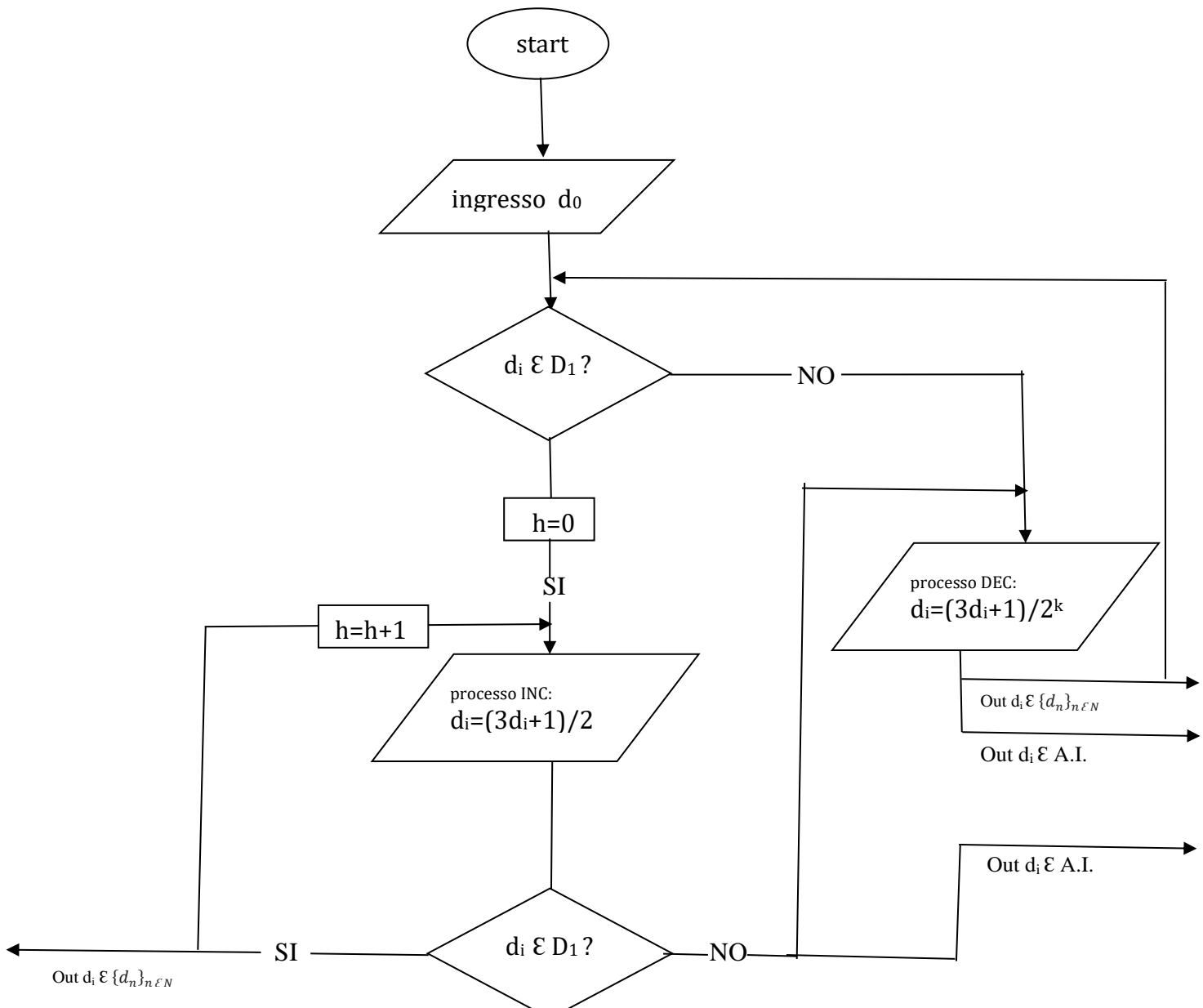
Ora ai fini del nostro studio interessa stabilire se la successione  $\{d_n\}_{n \in N}$  è limitata o meno superiormente e quindi se nell'orbita prevalgono i rapporti di incremento o i rapporti di decremento oppure se gli stessi si equivalgono.

**Osservazione 5.8** Da quanto scritto sopra (Osservazione 5.7) i nodi con  $k=1$  (cioè  $d_i \in D_1$ ) determinano un rapporto di incremento mentre i nodi con  $k>1$  (cioè  $d_i \in D_2$ ) un rapporto di decremento decrescente al crescere di  $k$ . Inoltre per valutare la variazione relativa a  $d_0$  di un  $d_i$  qualsiasi dell'orbita di  $d_0$  bisogna anche considerare le possibili sequenze di nodi consecutivi con  $k=1$  che, qualora fossero ininterrotte, determinerebbero la divergenza della successione e quindi la sua illimitatezza superiore.

## 6 Rapporti di incremento e di decremento medi nell'orbita $\{d_n\}_{n \in N}$

Per determinare la variazione media relativa a  $d_0$  di un  $d_i$  qualsiasi dell'orbita di  $d_0$  bisogna quindi rifarsi al valore medio dei rapporti di incremento determinati dalle sequenze di nodi con  $k=1$  presenti nell'orbita corrente ed al valore medio dei rapporti di decremento determinati dai nodi con  $k>1$  in essa presenti.

A tal fine consideriamo un algoritmo informatico A.I. che simula l'orbita di  $d_0$  descritta dalla  $\{d_n\}_{n \in N}$  con l'esclusione dei nodi (numeri) dispari intermedi delle sequenze di nodi consecutivi con  $k=1$ . Questo il suo diagramma di flusso:



**Figura 1**

Nel diagramma di flusso dell'algoritmo sono indicate quattro uscite, due danno luogo a tutti i nodi della successione  $\{d_n\}_{n \in N}$  mentre le altre due sono relative agli esiti del processo DEC (decremento) e di quello INC (incremento) completo (cioè fino alla  $d_i \in D_2$ ) che determinano rispettivamente i decrementi e gli incrementi della  $d_i$ . Ovviamente, ai fini della dimostrazione della congettura, noi sappiamo che il  $d_i$  (a partire da  $d_0$ ) attraverserà il processo INC o il processo DEC a seconda che lo stesso  $d_i$  appartenga a  $D_1$  o a  $D_2$  mentre nulla sappiamo sul valore del  $d_0$  iniziale e dei  $d_i$  dell'orbita di  $d_0$ .

## 6.1 Teorema del rapporto di decremento medio di un'orbita

**Enunciato** Il rapporto di decremento medio determinato dagli  $m_2$  numeri naturali dispari  $d_i$  dell'orbita, prodotta da un qualunque numero naturale dispari  $d_0$ , e che generano  $(3d_i + 1)$  divisibili per  $2^k$  con  $k > 1$  tende a 0,375 al crescere di  $m_2$ .

**Dimostrazione** Se ipotizziamo, solo per comodità di ragionamento, che i  $d_i$  dell'orbita di  $d_0$  appartenenti a  $D_{2n}$  siano tutti compresi nell'intervallo  $[1, 2^n]$  in modo da avere che tutti i  $d_i$  dell'orbita appartengono al sottoinsieme di  $D_{2n}$ :

$$(6.2) \quad D_{2n} = \{1, 5, 9, 13, 17, 21, \dots, 2^n + 1\}$$

possiamo calcolare il rapporto di decremento medio  $v_{md(n)}$  che un  $d_i$  dell'insieme  $D_{2n}$  subisce nel processo DEC facendo una media geometrica ponderata (assumendo come pesi le rispettive densità) dei rapporti di decremento che subiscono lungo l'orbita tutti i numeri  $d_i$  appartenenti all'insieme  $D_{2n}$ :

$$(6.3) \quad v_{md}(n) = \sqrt[m]{\prod_{k=2}^n x_k^{y_k}}$$

dove  $x_k$  è il rapporto di decremento uguale a  $3/2^k$ ;  $y_k$  è la densità (Osservazione 5.3) dei numeri  $d_i \in D_{2n}$  che generano  $(3d_i + 1)$  divisibili per  $2^k$  che è pari a  $1/2^{k-1}$  ed  $M$  è la somma delle densità uguale a  $\sum_{k=2}^n \frac{1}{2^{k-1}}$ .

Pertanto la (6.3) diventa:

$$(6.4) \quad v_{md}(n) = \sqrt{\prod_{k=2}^n \left(\frac{3}{2^k}\right)^{\frac{1}{2^{k-1}}}}$$

Ovviamente però i  $d_i$  dell'orbita di  $d_0$  appartenenti a  $D_2$  possono spaziare, a partire da  $d_0$ , in tutto l'insieme infinito  $D_2$  e quindi il rapporto di decremento medio  $v_{md}(D_2)$  sarà pari a:

$$(6.5) \quad v_{md}(D_2) = \lim_{n \rightarrow \infty} (v_{md}(n)) = \lim_{n \rightarrow \infty} \sqrt{\prod_{k=2}^n \left(\frac{3}{2^k}\right)^{\frac{1}{2^{k-1}}}} = 0,375$$

Ovviamente quanto più l'orbita di  $d_0$  è lunga, e con essa cresce anche il numero  $m_2$  dei  $d_i \in D_2$  ( $d_i$  tutti distinti tra loro come dimostreremo in seguito) che passano attraverso il processo DEC, tanto più la media dei rapporti di decremento avvenuti si avvicina al valore medio calcolato della (6.5) come volevasi dimostrare.

## 6.6 Teorema del rapporto di incremento medio di un'orbita

**Enunciato** Il rapporto di incremento medio determinato dagli  $m_1$  numeri naturali dispari  $d_i$  dell'orbita, prodotta da un qualunque numero naturale dispari  $d_0$ , e che generano sequenze di  $h$   $(3d_i + 1)$  divisibili consecutivamente per  $2^k$  con  $k = 1$  tende a 2,250 al crescere di  $m_1$ .

**Dimostrazione** Se ipotizziamo, solo per comodità di ragionamento, che i  $d_i$  dell'orbita di  $d_0$  appartenenti a  $D_{1n}$  siano tutti compresi nell'intervallo  $[1, 2^n]$  in modo da avere che tutti i  $d_i$  dell'orbita appartengono al sottoinsieme di  $D_{1n}$ :

$$(6.7) \quad D_{1n} = \{3, 7, 11, 15, 19, \dots, 2^n - 1\}$$

possiamo calcolare il rapporto di incremento medio  $v_{mi(n)}$  che un  $d_i$  dell'insieme  $D_{1n}$  subisce nel processo INC facendo una media geometrica ponderata (assumendo come pesi le rispettive densità) dei rapporti di incremento che subiscono lungo l'orbita tutti i numeri  $d_i$  appartenenti all'insieme  $D_{1n}$ .

**Osservazione 6-8** Al fine di determinare le densità dei diversi rapporti di incremento, dipendenti dalla lunghezza  $h$  delle sequenze del processo INC attraversato dal generico  $d_i$  dell'insieme  $D_{1n}$ , analizziamo la Figura dell'allegato A. In essa possiamo rilevare che le densità in  $D_{1n}$  delle sequenze del processo INC e quindi dei rapporti di incremento relativi ad un  $d_i \in D_{1n}$  sono uguali per le sequenze di lunghezza  $h$  (con  $h=1, 2, 3, \dots, n-2$ ) ad  $1/2^h$  e per  $h=n-1$  ad  $1/2^{(n-2)}$ .

**Lemma 6.9** *Dallo studio della figura 2 e da quanto ne abbiamo già dedotto possiamo affermare che relativamente ad un intervallo  $[1, 2^n]$  la massima lunghezza di una sequenza INC determinata da un  $d_i$  dell'insieme  $D_{1n}$  appartenente al suddetto intervallo è pari ad  $n-1$ , dopodiché nell'orbita ci sarà sicuramente un decremento.*

In base alle densità in  $D_{1n}$  delle sequenze del processo INC sopra determinate ed al rapporto di incremento di  $d_i$  di pari a  $3/2$  [vedi (5.5)] per ogni singolo passaggio nel processo INC possiamo calcolare ora il rapporto di incremento medio relativo  $v_{mi(n)}$  che un  $d_i$  dell'insieme  $D_{1n}$  subisce in una sequenza di processi INC facendo una media geometrica ponderata (assumendo come pesi le rispettive densità delle diverse sequenze) dei rapporti di incremento che subiscono lungo l'orbita tutti i numeri  $d_i$  appartenenti all'insieme  $D_{1n}$ :

$$(6.10) \quad v_{mi}(n) = \sqrt[M]{\prod_{h=2}^n x_h^{y_h}}$$

dove  $x_h$  è il rapporto di incremento uguale a  $(3/2)^h$ ;  $y_h$  è la densità (Osservazione 6.8) dei numeri  $d_i \in D_{2n}$  che generano  $(3d_i + 1)$  divisibili per 2 che è pari a  $1/2^h$  ed  $M$  è la somma delle densità uguale a  $\sum_{h=1}^n \frac{1}{2^h}$ .

Pertanto la (6.10) diventa:

$$(6.11) \quad v_{mi}(n) = \sqrt{\prod_{h=1}^{n-2} \left[ \left(\frac{3}{2}\right)^h \right]^{\frac{1}{2^h}} * \left[ \left(\frac{3}{2}\right)^{n-1} \right]^{\frac{1}{2^{n-2}}}}$$

Ovviamente però i  $d_i$  dell'orbita di  $d_0$  appartenenti a  $D_1$  possono spaziare, a partire da  $d_0$ , in tutto l'insieme infinito  $D_2$  e quindi il rapporto di decremento medio  $v_{mi}(D_2)$  sarà pari a:

$$(6.12) \quad v_{mi}(D1) = \lim_{n \rightarrow \infty} (v_{mi}(n)) = \sqrt{\prod_{h=1}^{n-2} \left[ \left(\frac{3}{2}\right)^h \right]^{\frac{1}{2^h}} * \left[ \left(\frac{3}{2}\right)^{n-1} \right]^{\frac{1}{2^{n-2}}}} = 2.250$$

Ovviamente quanto più l'orbita di  $d_0$  è lunga, e con essa cresce anche il numero  $m_1$  dei  $d_i \in D_1$  ( $d_i$  tutti distinti tra loro come dimostreremo in seguito) che passano attraverso le sequenze del processo INC, tanto più la media dei rapporti di incremento avvenuti si avvicina al valore medio calcolato della (6.12) come volevasi dimostrare.

## 7 La limitatezza superiore dell'orbita $\{d_n\}_{n \in N}$

Gli Out  $d_i$  dell'Algoritmo Informatico di figura 1 generano una successione (orbita)  $\{AI\}_{n \in N}$  di  $d_0$  che eguaglia l'orbita di  $d_0$  descritta dalla  $\{d_n\}_{n \in N}$  con l'esclusione dei nodi (numeri) dispari intermedi delle sequenze di nodi con  $k=1$  del processo INC. Ciò comporta che la limitatezza superiore o meno della  $\{AI_n\}_{n \in N}$  implica anche quella della  $\{d_n\}_{n \in N}$  e della  $\{a_n\}_{n \in N}$ .

### 7.1 Teorema sulla limitatezza superiore dell'orbita di Collatz

**Enunciato** L'orbita di Collatz  $\{d_n\}_{n \in N}$  è limitata superiormente

**Dimostrazione** Premesso che nell'algoritmo informatico di figura 1:

- le uscite  $d_{i2} \in D_2$  sono maggiori delle uscite  $d_{i1} \in D_1$  in quanto, a parità della loro densità (1/2) in  $D$ , il processo INC attraversato da un  $d_{i1}$  genera sempre un  $d_{i2}$  mentre il processo DEC attraversato da un  $d_{i2}$  genera sia  $d_{i1}$  che  $d_{i2}$
- mentre esistono  $d_{i2}$  tali che  $3d_{i2}+1$  è uguale a  $2^n$  (con  $n$  pari) e che quindi genera a valle del processo DEC il numero 1 (termine dell'orbita di Collatz), non esistono  $d_{i1}$  tali da attivare col processo INC una sequenza di incrementi infiniti visto che in base al Lemma 6.9 la massima lunghezza di una sequenza INC determinata da un  $d_{i1}$  è pari ad  $n-1$  passi dispari con  $n$  uguale all'esponente della prima potenza di 2 maggiore di  $d_{i1}$
- per qualsiasi  $d_i$  di una successione (orbita)  $\{AI\}_{n \in N}$  generata da un numero dispari  $d_0$  vale la seguente relazione:

$$(7.2) \frac{d_i}{d_0} = r_1 * r_2 * r_3 * r_4 * r_5 * r_6 * \dots \dots \dots r_j$$

nella quale il secondo termine costituisce una distribuzione generata dalla funzione  $g(d)$  in cui gli  $r_i$  (con  $i < j$ ) indicano i rapporti  $d_j/d_{j-1}$  di incremento e di decremento che i vari  $d_i$  dell'orbita subiscono negli alterni rispettivi processi INC e DEC (ad ogni processo INC segue sempre almeno un processo DEC ma ne possono essere anche di più giacché in ogni orbita  $d_{i2} \in D_2$  è sempre maggiore o uguale di  $d_{i1} \in D_1$ )

ipotizziamo che esistano uno o più numeri  $d_0$ , generatori della successione  $\{AI_n\}_{n \in N}$ , e quindi anche delle successioni  $\{d_n\}_{n \in N}$  ed  $\{a_n\}_{n \in N}$ , che danno luogo nei processi INC a rapporti di incremento di  $d_i$  maggiori di  $V_{mi}(D_1)$  e nei processi DEC a rapporti di decremento di  $d_i$  minori di  $V_{md}(D_2)$  con la conseguenza di avere una successione di valori mediamente crescenti di  $d_i$  anche se non infiniti grazie al Lemma 6.9.

Ma questo andamento crescente della successione non può perdurare all'infinito. Al crescere degli  $d_i$  (e cioè dei nodi dell'orbita di  $d_0$ ) infatti i valori medi dei rapporti di incremento e dei rapporti di decremento che si verificano si avvicinano ai due valori medi calcolati con la (6.5) e la (6.12) per cui ogni nuovo  $d_{i1}$  determina un rapporto di incremento complessivo medio rispetto a  $d_0$  dei processi INC sempre più prossimo a 2,25 ed ogni nuovo  $d_{i2}$  dà luogo ad un rapporto di decremento complessivo medio rispetto a  $d_0$  dei processi DEC sempre più prossimo ad 0,375 col risultato che più l'orbita si allunga senza incontrare l'1 (come ultimo nodo della congettura) più gli incrementi ed i decrementi complessivi si annullano reciprocamente.

Infatti la (7.2) possiamo scriverla anche come:

$$(7.3) \frac{d_j}{d_0} = \prod_{i=1}^{Rinc} r_{in} * \prod_{d=1}^{Rdec} r_{de}$$

dove  $r_{in}$  ed  $r_{de}$  sono i rapporti singoli di incremento e di decremento e  $Rinc$  ed  $Rdec$  (con  $Rdec \geq Rinc$ ) sono il numero di rapporti di incremento ed il numero di rapporti di decremento presenti nell'orbita da  $d_0$  e  $d_j$ .

La proprietà principale del valore medio di una distribuzione geometrica è:

$$\prod_{i=1}^n x_i = \prod_{i=1}^n x_{me}$$

dove  $x_i$  è il generico termine di una distribuzione di  $n$  termini ed  $x_{me}$  il suo valore medio.

Se invece ci limitiamo al prodotto di soli  $m$  (con  $m < n$ ) termini della distribuzione sarà sempre molto probabilmente:

$$\prod_{i=1}^m x_i \neq \prod_{i=1}^m x_{me}$$

con la differenza tra i due prodotti decrescente al crescere di m fino ad azzerarsi per m=n o, nel caso di distribuzione infinita, fino all'uguaglianza:

$$\lim_{m \rightarrow \infty} \prod_{i=1}^m x_i = \lim_{m \rightarrow \infty} \prod_{i=1}^m x_{me}$$

Se quindi ci riferiamo alla nostra distribuzione (7.2) { r<sub>1\*</sub> r<sub>2\*</sub> r<sub>3\*</sub> r<sub>4\*</sub> r<sub>5\*</sub> r<sub>6\*</sub>..... } di infiniti termini appartenenti all'intervallo ]0, ∞] di R potremo scrivere per analogia:

$$(7.4) \quad \lim_{n \rightarrow \infty} \prod_{i=1}^n r_i = \lim_{n \rightarrow \infty} \prod_{i=1}^n r_m \quad \text{con } r_m \text{ valore medio della distribuzione (7.2)}$$

ed in base alla (7.3):

$$(7.5) \quad \begin{aligned} \lim_{n \rightarrow \infty} \prod_{i=1}^n r_i &= \lim_{n \rightarrow \infty} \prod_{i=1}^{Rinc} r_{in} * \prod_{d=1}^{Rdec} r_{de} = \lim_{rinc \rightarrow \infty} \prod_{i=1}^{Rinc} r_{in} * \lim_{rdec \rightarrow \infty} \prod_{d=1}^{Rdec} r_{de} = \\ &= \lim_{rinc \rightarrow \infty} \prod_{i=1}^{Rinc} v_{mi}(D_1) * \lim_{rdec \rightarrow \infty} \prod_{d=1}^{Rdec} v_{md}(D_2) = \lim_{rinc \rightarrow \infty} v_{mi}(D_1)^{Rinc} * \lim_{rdec \rightarrow \infty} v_{md}(D_2)^{Rdec} \end{aligned}$$

ed essendo  $v_{mi}(D_1) = 2,250$ ,  $v_{md}(D_2) = 0,375$  per cui  $v_{mi}(D_1) * v_{md}(D_2) = 0.84375$  ed essendo tra l'altro lungo l'orbita  $Rdec \geq Rinc$ , risulterà sempre che il  $\lim_{n \rightarrow \infty} \prod_{i=1}^n r_i < 1$ .

Il risultato è che, finché nell'orbita non si è già generato il numero 1, i  $d_i$  di uscita si avvicinano sempre più all'ingresso  $d_0$  per poi scenderne al di sotto. Inoltre la disparità presente nell'orbita tra i  $d_{i2}$  ed i  $d_{i1}$  con prevalenza dei primi (vedi premessa) spinge l'orbita verso il basso ed i  $d_i$  ad assumere valori mediamente inferiori a  $d_0$ .

**Osservazione 7.6** In definitiva più l'orbita di un qualsiasi  $d_0$  si prolunga, più gli  $d_i$  di avanzamento della stessa si mantengono inferiori a  $d_0$  e comunque la successione  $\{AI_n\}_{n \in N}$  si mantiene superiormente limitata così come di conseguenza saranno limitate superiormente anche le successioni  $\{d\}_{n \in N}$  ed  $\{a_n\}_{n \in N}$ .

## 8 I passi dell'orbita $\{a_n\}_{n \in N}$

Utilizzando un approccio più aritmetico alla successione  $\{d\}_{n \in N}$  possiamo ricavare l'espressione del generico termine  $id$ -esimo dispari  $d_{id}$  della successione.

**Lemma 8.1** Data una successione  $\{d\}_{n \in N}$  generata da un qualunque intero positivo dispari  $d_0$  e che presenta come termini successivi i numeri dispari che si ottengono applicando al termine precedente  $d$  la funzione  $g(d) = \frac{3d+1}{2^k}$ , in cui  $2^k$  è la massima potenza di due che divide  $3d+1$ , l'espressione del generico termine  $id$ -esimo dispari  $d_{id}$  della successione è:

$$(8.2) \quad d_{id} = \frac{3^{id} * d_0 + 3^{id-1} + 3^{id-2} * 2^{s_1} + 3^{id-3} * 2^{s_1+s_2} + \dots + 3 * 2^{s_1+\dots+s_{id-2}} + 2^{s_1+\dots+s_{id-1}}}{2^{s_1+\dots+s_{id-1}}}$$

dove:

- $d_{id}$  è il generico termine  $d_i$  dispari della successione derivante dalla divisione del termine  $3d_{id-1}+1$  per la massima potenza di 2 che lo può dividere
- $s_i$  è l'esponente della massima potenza di 2 per cui è divisibile il termine  $3d_{i-1}+1$
- $id$  rappresenta il numero di passi dispari della successione  $\{d\}_{n \in N}$  (e di quella  $\{a\}_{n \in N}$ ) fino al nodo  $d_{id}$
- $s_1 + s_2 + \dots + s_{id} = ip$  rappresenta la somma degli esponenti delle massime potenze di due per cui sono divisibili i termini  $3d_{i-1}+1$  per tutti i  $d_i$  della successione  $\{d\}_{n \in N}$  fino a  $d_{id}$

**Dimostrazione** In base alla definizione della  $\{d\}_{n \in N}$  i primi termini  $d_{id}$  (con id indice dei termini della successione) successivi a  $d_0$  sono:

$$d_1 = \frac{(3d_0+1)}{2^{s_1}} ; \quad d_2 = \frac{(3d_1+1)}{2^{s_2}} = \frac{\frac{3*(3d_0+1)+1}{2^{s_1}}}{2^{s_2}} = \frac{3^2*d_0+3+2^{s_1}}{2^{s_1}*2^{s_2}} ; \quad d_3 = \frac{(3d_2+1)}{2^{s_3}} = \frac{\frac{3*(3d_1+1)+1}{2^{s_1}*2^{s_2}}}{2^{s_3}} = \frac{3^2*d_0+3+2^{s_1}+2^{s_2}}{2^{s_1}*2^{s_2}*2^{s_3}} = \frac{3^3*d_0+3^2+3*2^{s_1}+2^{s_1}*2^{s_2}}{2^{s_1+s_2+s_3}} = \frac{3^{id}*d_0+3^{id-1}+3*2^{s_1}+2^{s_1+s_{id-1}}}{2^{s_1+s_2+s_{id}}} \quad \text{dove } id=3$$

procedendo allo stesso modo per i termini successivi al terzo si perviene per ogni  $d_{id}$  alla (8.2).

**Osservazione 8.3** Si fa presente che gli indici id ed ip del Lemma 8.1 rappresentano rispettivamente anche il numero dei passi pari (termini pari) e di quelli dispari (termini dispari) della successione iniziale  $\{a\}_{n \in N}$  fino al termine  $d_{id}$ .

#### 8.4 Teorema sulla relazione tra i passi dell'orbita $\{a_n\}_{n \in N}$

**Enunciato** Data una successione  $\{a_n\}_{n \in N}$  generata da un qualunque intero positivo dispari  $d_0$  tra il numero dei suoi passi pari ip e quello dei suoi passi dispari id fino al generico termine dispari  $d_{id}$  sussiste la relazione  $ip = \lceil \log_2 \left( 3^{id} * \frac{d_0}{d_{id}} \right) \rceil$ .

**Dimostrazione** Si è già fatto presente (Osservazione 8.3) che gli id e gli ip, che compaiono nella (8.1) e che sono relativi alla successione  $\{d_n\}_{n \in N}$ , corrispondono ai passi dispari id ed a quelli pari ip della successione  $\{a_n\}_{n \in N}$  di cui la  $\{d_n\}_{n \in N}$  è quasi equivalente. Vediamo allora in base alla (8.2) quale relazione è possibile trovare tra l'id e l'ip della  $\{d_n\}_{n \in N}$ .

Innanzitutto possiamo ricavare le seguenti diseguaglianze:

$$(8.5) \quad 2^{ip} * d_{id} > 3^{id} * d_0$$

e sottraendo ad entrambi i membri il termine  $2^{ip-1} * d_{id}$  e sapendo che  $2^{ip} - 2^{ip-1} = 2^{ip-1}$

$$(8.6) \quad 2^{ip-1} * d_{id} > 3^{id} * d_0 - 2^{ip-1} * d_{id} \implies 2^{ip-1} * d_{id} < 3^{id} * d_0$$

e quindi possiamo scrivere:

$$(8.7) \quad 2^{ip-1} * d_{id} < 3^{id} * d_0 < 2^{ip} * d_{id} \implies 2^{ip-1} < 3^{id} * \frac{d_0}{d_{id}}$$

Dalla (8.5) ricaviamo che:

$$(8.8) \quad 2^{ip} > 3^{id} * \frac{d_0}{d_{id}}$$

ed essendo pure  $2^{ip-1} < 3^{id} * \frac{d_0}{d_{id}}$  risulta che per ogni orbita di  $d_0$  fino ad un qualsiasi  $d_{id}$  il numero ip dei passi pari è legato a quello id dei passi dispari dalla seguente relazione:

$$(8.9) \quad ip = \lceil \log_2 \left( 3^{id} * \frac{d_0}{d_{id}} \right) \rceil$$

#### 9 Uno è l'unico $d_{id}$ che si ripete nell'orbita $\{d_n\}_{n \in N}$

Dimostriamo ora che in un'orbita  $\{d\}_{n \in N}$ , generata da un intero positivo qualsiasi  $d_0$ , nessun  $d_{id}$  dell'orbita è uguale ad un altro  $d_{id}$ , a partire da  $d_0$ , fino a quando l'orbita non raggiunge il numero 1 e quindi l'orbita  $\{a\}_{n \in N}$ , di cui  $\{d\}_{n \in N}$  è quasi equivalente, il ciclo 4, 2, 1.

## 9.1 Teorema sulla unicità del ciclo 4, 2, 1 nell'orbita $\{a\}_{n \in N}$

**Enunciato** In ogni orbita di Collatz generata da un qualsiasi intero positivo  $a_0$  esiste solo il ciclo infinito 4, 2, 1

**Dimostrazione** Se dimostriamo che nessun numero si ripete in una orbita  $\{d\}_{n \in N}$  generata da un qualsiasi intero positivo dispari  $d_0$  fino a quando l'orbita non raggiunge il numero 1, che invece si ripeterà infinitamente, abbiamo anche dimostrato che non esiste alcun ciclo nell'orbita  $\{a\}_{n \in N}$  fino a quando la stessa non perviene al numero 1. Infatti se nessun  $d_{id}$ , a partire da  $d_0$ , si ripete lungo l'orbita  $\{d\}_{n \in N}$  anche tutti i numeri pari  $3d_{id} + 1$  e quelli che derivano dalle divisioni successive dello stesso per 2 non si ripeteranno nella corrispondente orbita  $\{a\}_{n \in N}$ . Si ripeteranno invece, infinitamente oltre all'1, il 4 ed il 2 che sono appunto uguali a  $3*1+1$  ed a  $(3*1+1)/2$ .

Vediamo ora perché nessun termine  $d_{id}$  della successione si ripete in una orbita  $\{d\}_{n \in N}$  fino a quando la stessa non perviene al numero 1.

Abbiamo già visto nella (8.2) che ogni  $d_{id}$  appartenente all'orbita  $\{d\}_{n \in N}$  è uguale al rapporto di due polinomi crescenti, anche se in maniera diversa, con i passi dispari  $id$  dell'orbita:

$$(9.2) \quad d_{id} = \frac{3^{id} * d_0 + 3^{id-1} + 3^{id-2} * 2^{s_1} + 3^{id-3} * 2^{s_1+s_2} + \dots + 3 * 2^{s_1+\dots+s_{id-2}} + 2^{s_1+\dots+s_{id-1}}}{2^{s_1+\dots+s_{id-1}} * 2^{s_{id}}}$$

che ponendo  $\Delta = 3^{id-1} + 3^{id-2} * 2^{s_1} + 3^{id-3} * 2^{s_1+s_2} + \dots + 3 * 2^{s_1+\dots+s_{id-2}} + 2^{s_1+\dots+s_{id-1}}$

ed  $ip = s_1 + s_2 + \dots + s_{id}$  diventa:

$$(9.3) \quad d_{id} = \frac{3^{id} * d_0 + \Delta}{2^{ip}}$$

La (9.3) esprime quindi la relazione esistente tra un  $d_{id}$  qualsiasi dell'orbita ed il generatore di quest'ultima  $d_0$  e dove  $id$  è l'indice del termine  $d_{id}$  della successione  $\{d\}_{n \in N}$  (nonché il numero dei passi dispari della successione  $\{a\}_{n \in N}$ ) ed  $ip$  la somma degli esponenti delle potenze di 2 che dividono i termini  $3d+1$  presenti tra  $d_0$  e  $d_{id}$  (nonché il numero dei passi pari della successione  $\{a\}_{n \in N}$ ).

Considerando allora due nodi qualsiasi dell'orbita  $\{d\}_{n \in N}$  pari rispettivamente a  $d_{idx}$  e  $d_{idy}$ , con  $idy > idx$ , possiamo scrivere:

$$(9.4) \quad d_{idx} = \frac{3^{idx} * d_0 + \Delta_x}{2^{ipx}} \quad \text{e} \quad d_{idy} = \frac{3^{idy} * d_0 + \Delta_y}{2^{ipy}}$$

dove  $idx$  ed  $idy$  sono gli indici dei termini  $d_{idx}$  e  $d_{idy}$  della successione  $\{d\}_{n \in N}$  ed  $ipx$  ed  $ipy$  sono le somme degli esponenti delle potenze di 2 che dividono i vari  $3d+1$  dei nodi presenti rispettivamente tra  $d_0$  e  $d_{idx}$  e tra  $d_0$  e  $d_{idy}$ . E' da sottolineare che essendo il termine  $d_{idy}$  successivo a quello  $d_{idx}$  ed essendo i numeratori e denominatori della (9.2) sempre crescenti col susseguirsi dei nodi dell'orbita  $\{d\}_{n \in N}$  (a prescindere dal valore del loro rapporto non monotono) si ha che  $idy$  ed  $ipy$  sono sempre maggiori rispettivamente di  $idx$  ed  $ipx$ <sup>1</sup>.

Se per assurdo supponiamo che  $d_{idy} = d_{idx}$ , si dovrebbe avere di conseguenza:

$$(9.5) \quad \frac{3^{idy} * d_0 + \Delta_y}{2^{ipy}} = \frac{3^{idx} * d_0 + \Delta_x}{2^{ipx}}$$

---

<sup>1</sup> Anche nel caso che  $d_{idy}$  e  $d_{idx}$  sono consecutivi si avrà che  $idy=idx+1$  ed anche  $ipy$  sarà maggiore di almeno una unità rispetto a  $ipx$  in quanto tra i due termini dispari  $d_{idx}$  e  $d_{idy}$  ci sta almeno il nodo pari corrispondente a  $3*d_{idx} + 1$

Ora essendo per la (8-7)  $2^{ip-1} * d_{id} < 3^{id} * d_0$  e per la (9.3)  $2^{ip} * d_{id} - \Delta = 3^{id} * d_0$  possiamo scrivere:

$$(9.6) \quad 2^{ip-1} * d_{id} < 2^{ip} * d_{id} - \Delta$$

ed essendo  $2^{ip} - 2^{ip-1} = 2^{ip-1}$  possiamo dedurne che  $\Delta < 2^{ip-1} * d_{id}$  e quindi anche che  $\Delta < 3^{id} * d_0$  e che quindi infine è possibile trascurare  $\Delta$  rispetto a  $3^{id} * d_0$ .

Questo ci consente di scrivere con buona approssimazione l'egualanza della (9.5) nel modo seguente:

$$(9.7) \quad \frac{3^{idy}*d_0}{2^{ipy}} \approx \frac{3^{idx}*d_0}{2^{ipx}} \quad \Longrightarrow \quad 3^{idy-idx} \approx 2^{ipy-ipx}$$

uguaglianza quest'ultima che discende anche dalla (8-9) sottraendo la ipx dalla ipy e ponendo la differenza ad esponente della potenza di due:

$$(9.8) \quad 2^{ipy-ipx} \approx \frac{d_{idx}}{d_{idy}} * 3^{idy-idx} \quad \Longrightarrow \quad 3^{idy-idx} \approx 2^{ipy-ipx}$$

in base alla ipotesi iniziale  $d_{idy} = d_{idx}$ . Ma questa egualanza risulta impossibile a meno che i due esponenti della (9.7) non siano pari a zero e cioè  $idy=idx$  e  $ipy=ipx$ , condizione questa inesistente per due nodi distinti dell'orbita. L'approssimazione della (9.8) non inficia il ragionamento in quanto la differenza tra le due potenze cresce in media molto rapidamente al crescere dell'esponente di 3, ricavando dalla 8.9 quello del 2.

Di conseguenza l'ipotesi  $d_y = d_x$  è falsa ed il teorema dimostrato.

**Osservazione 9.9** Si perverrebbe alla stessa formula (9.7) qualora calcolassimo idy ed idx a partire dalla formula (5.4) che per ogni nodo  $K_i$  dell'orbita fornisce la relazione approssimata tra l'uscita  $d_i$  e l'ingresso  $d_{i-1}$ :

$$(9.9) \quad d_i = (3d_{i-1} + 1)/2^{k_i} \approx 3d_{i-1}/2^{k_i}$$

Infatti reiterando questa formula, a partire da  $d_0$ , per gli id nodi dell'orbita  $\{d\}_{n \in N}$ , otterremo:

$$(9.10) \quad d_{id} \approx 3^{id} * d_0 / 2^{ip}$$

dove id è l'indice del nodo  $k_{id}$  della successione  $\{d\}_{n \in N}$  ed ip è la somma dei vari  $k_i$  della (9.9) intercorsi tra  $d_0$  e  $d_{id}$ . Da qui in poi, considerando due nodi qualsiasi dell'orbita  $\{d\}_{n \in N}$  pari rispettivamente a  $d_{idx}$  e  $d_{idy}$ , con  $idy > idx$ , la trattazione è analoga a quella svolta precedentemente dalla (9.7) in poi.

## 10 Validità della congettura di Collatz

Avendo dimostrato (4) che la successione  $\{a\}_{n \in N}$  giunge sempre ad 1 se vi giunge anche la successione equivalente  $\{d\}_{n \in N}$  e che quest'ultima giunge sempre ad 1 in quanto:

- a) la successione è superiormente limitata (7) e quindi non esiste alcun numero dispari d per cui la successione tende ad infinito
- b) fino al nodo dell'orbita pari ad 1 non ci sono in essa numeri che si ripetono senza mai dare 1 (9) e quindi nessun termine della successione  $\{d_n\}_{n \in N}$  è uguale ad un suo termine precedente

risulta dimostrata la congettura di Collatz

**ALLEGATO A**

**Numero di volte consecutive che il termine  $3di+1$ , a partire da quello iniziale che attraversa il processo INC, è divisibile solo per 2  
 h=numero di volte; d=densità calcolata rispetto ai numeri dispari dell'insieme D1**

<b>h=1</b> <b>diεD1:</b> $d1=(3di+1)/2;$ $d=1/2$	<b>h=2</b> $d2=(3d1+1)/2;$ $d=1/4$	<b>h=3</b> $d3=(3d2+1)/2;$ $d=1/8$	<b>h=4</b> $d4=(3d3+1)/2;$ $d=1/16$	<b>h=5</b> $d5=(3d4+1)/2;$ $d=1/32$	<b>h=6</b> $d6=(3d5+1)/2;$ $d=1/64$
3	5				
7	11	17			
11	17				
15	23	35	53		
19	29				
23	35	53			
27	41				
31	47	71	107	161	
35	53				
39	59	89			
43	65				
47	71	107	161		
51	77				
55	83	125			
59	89				
63	95	143	215	323	485
67	101				
71	107	161			
75	113				
79	119	179	269		
83	125				
87	131	197			
91	137				
95	143	215	323	485	
99	149				
103	155	233			
107	161				
111	167	251	377		
115	173				
119	179	269			
123	185				
127	191	287	431	647	971
					1457

## BIBLIOGRAFIA

[a] Terence Tao - Quasi tutte le orbite di Collatz raggiungono valori quasi limitati:  
<https://terrytao.wordpress.com/2019/09/10/almost-all-collatz-orbits-attain-almost-bounded-values/>

[b] Mirko Degli Esposti - La congettura di Collatz:  
<https://amslaurea.unibo.it/6334/1/Collatz.pdf>